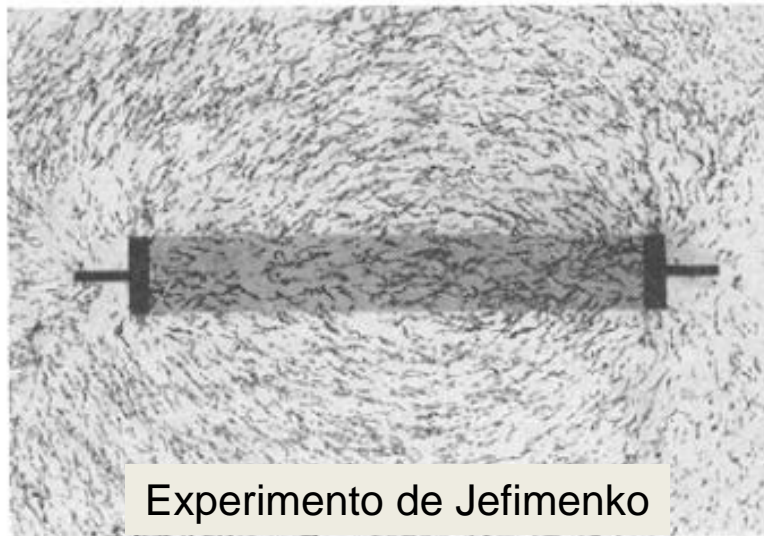


CARGAS SUPERFICIALES con QuickField



Ernesto Martín (emr@um.es)
Juan Muñoz (juanmu@um.es)

Dpto. Electromagnetismo y Electrónica
Universidad de Murcia



SOFTWARE 2D utilizado por los autores:

- **EASY JAVA SIMULATION (EJS)** → Diferencias Finitas → requiere programación elemental
http://fem.um.es/Ejs/Ejs_es/index.html
E. Martín, J. Muñoz, “Cargas superficiales y circuitos”, URSI, Tenerife, 2007.
- **QUICK FIELD (QF)** → Elementos Finitos → muy intuitivo para alumno.



Relevancia de la cargas superficiales

- 1) Determinan procesos físicos de interés:
 - Relajación de cargas en conductores
 - Conducción eléctrica
- 2) Nexo entre electrostática y circuitos eléctricos
- 3) El papel de las cargas superficiales en conductores portadores de corriente eléctrica (Jefimenko, Sommerfeld, Jackson, Chabay-Sherwood) no aparece en los libros usuales de texto

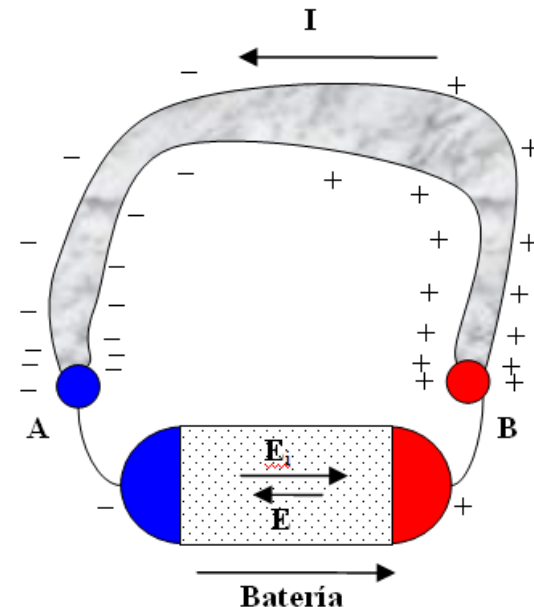


Establecimiento de la corriente eléctrica en un circuito

- \mathbf{E} : campo asociado a la distribución estática de cargas/conservativo/ se extiende al exterior de la batería
- \mathbf{E}_i : bombea contracorriente/no conservativo/ localizado en el interior de la batería
- Corriente estacionaria: supone autoajuste (instantáneo) del campo \mathbf{E}
- Distribución espacial no uniforme de cargas superficiales responsable de:

J.D. JACKSON:

- Fuentes del campo eléctrico en el exterior
- Mantienen el potencial a lo largo del conductor
- Fuentes locales del campo eléctrico en el interior
- Aseguran flujo confinado de la corriente eléctrica





LEYES IMPLICADAS

❖ Continuidad:

$$\nabla \cdot \vec{J} + \frac{\partial \rho}{\partial t} = 0$$

$$\frac{\partial \rho}{\partial t} = 0 \rightarrow \nabla \cdot \vec{J} = 0$$

$$\rho(\vec{r}, t) = \rho(\vec{r}, 0) \exp[(-\sigma/\varepsilon_0)t] \quad \tau = \varepsilon_0/\sigma \approx 10^{-19} s$$

❖ Constitutivas:

$$\vec{D} = \varepsilon \vec{E}$$

$$\vec{J} = \sigma \vec{E}$$

(L.Ohm)

❖ Ley de Gauss:

$$D_n = Q_{\text{sup}} \left(C/m^2 \right)$$

$$\rho = \nabla \cdot \vec{D} = \nabla \cdot (\varepsilon \vec{E}) = \nabla \cdot (\varepsilon \vec{J}/\sigma) = \varepsilon \nabla \cdot \vec{J} + \vec{J} \cdot \nabla (\varepsilon/\sigma) = \vec{J} \cdot \nabla (\varepsilon/\sigma)$$

(Si el material es homogéneo, no hay carga en volumen)

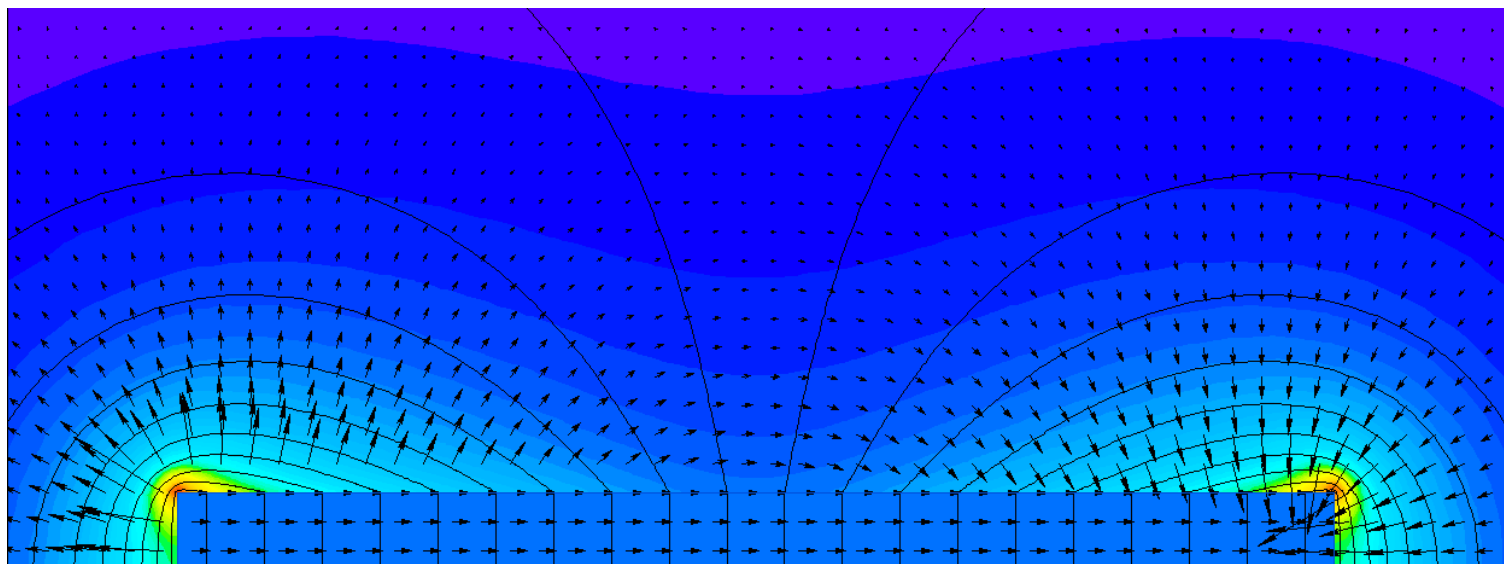
Caso 1: Conductor cilíndrico

Módulo: DC Conduction (axisymmetric)

$$L = 4 \text{ m}, \Delta V = 2 \text{ V} \longrightarrow E = \Delta V/L = 0.5 \text{ V/m} \quad (r < a)$$

$$\sigma = 100 \text{ S/m} \longrightarrow J = \sigma E = 50 \text{ A/m}^2, \tau = \varepsilon_0 / \sigma \approx 10^{-13} \text{ s}$$

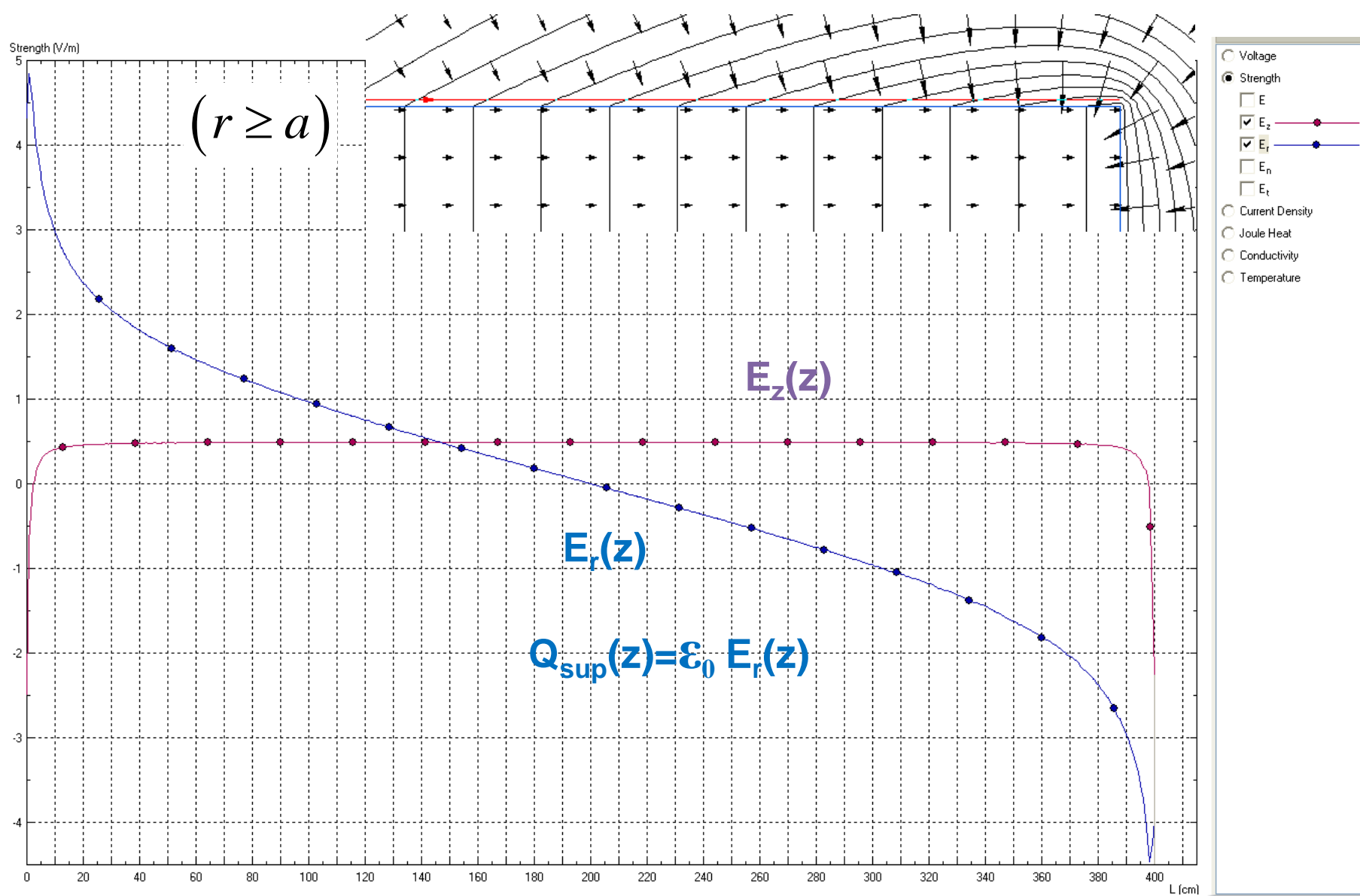
$$a = 25 \text{ cm} \longrightarrow I = J S = 9.8 \text{ A}, \quad R = \frac{1}{\sigma} \frac{L}{S} = 0.2 \Omega$$



Distribución de campo y líneas equipotenciales

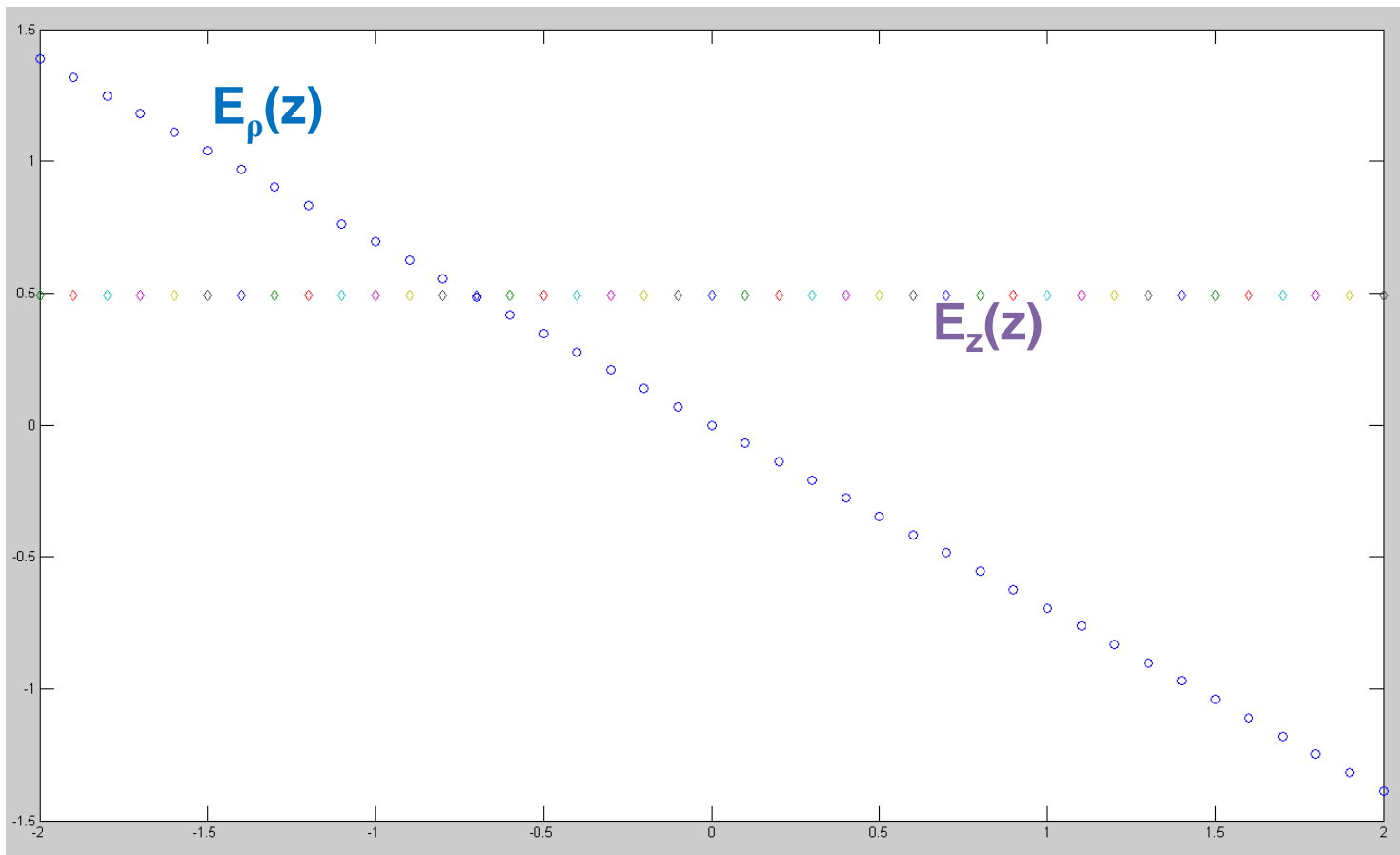


Contorno para obtención de Q_{sup}



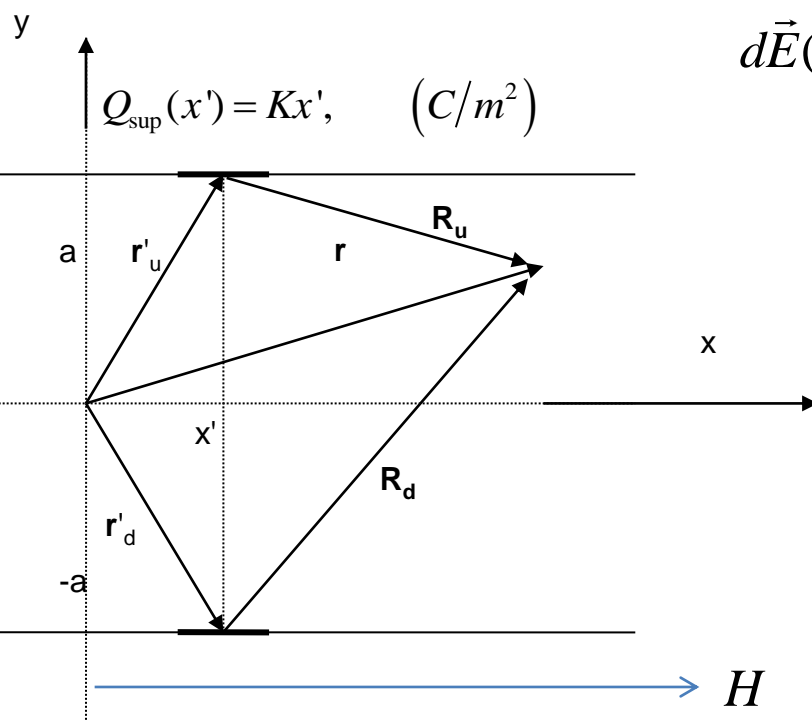
$$\vec{E} = \left[\frac{1}{\ln(\ell/a)} \left(\frac{RI + 2\phi_R}{2} - RI \frac{z}{\ell} \right) \frac{\hat{\rho}}{\rho} + \frac{RI}{\ell} \frac{\ln(\ell/\rho)}{\ln(\ell/a)} \hat{z} \right] \text{ if } \rho > a$$

(Assis-Hernandes)





ANÁLOGO ELECTROSTÁTICO: UN GRADIENTE LINEAL DE CARGA A LO LARGO DE UN SISTEMA-2D CON SIMETRÍA TRASLACIONAL PRODUCE UN CAMPO ELÉCTRICO UNIFORME (Russell)



$$d\vec{E}(\vec{r}) = \frac{Q_{\text{sup}}(x')}{2\pi\epsilon_0} \left(\frac{\vec{R}_u}{R_u^2} + \frac{\vec{R}_d}{R_d^2} \right)$$

$(a, x \ll H)$

$$E = E_x = -\frac{2KH}{\pi\epsilon_0}$$

$$Q_{\text{sup}}(H) = KH$$



Caso 2: Placas Paralelas (Mod: Electrostatics)

PlacasParalelas.pbm

PlacasParalelas.pbm - electrostatics problem

- Geometry: PlacasParalelas.mod
- Data: PlacasParalelas.des
 - Block Labels
 - Aire
 - Edge Labels
 - Exterior
 - Placa
 - Vertex Labels
- Library Data: <none>
- Links:
 - No links

Edge Label Properties - Placa

General

Voltage: $U = U_0$
 $U_0 = 0$ [V]

Surface Charge: $D_n = \sigma$ ($\Delta D_n = \sigma$)
 $\sigma = -1e-8x$ [C/m^2]

Floating Conductor (Equal Voltage)

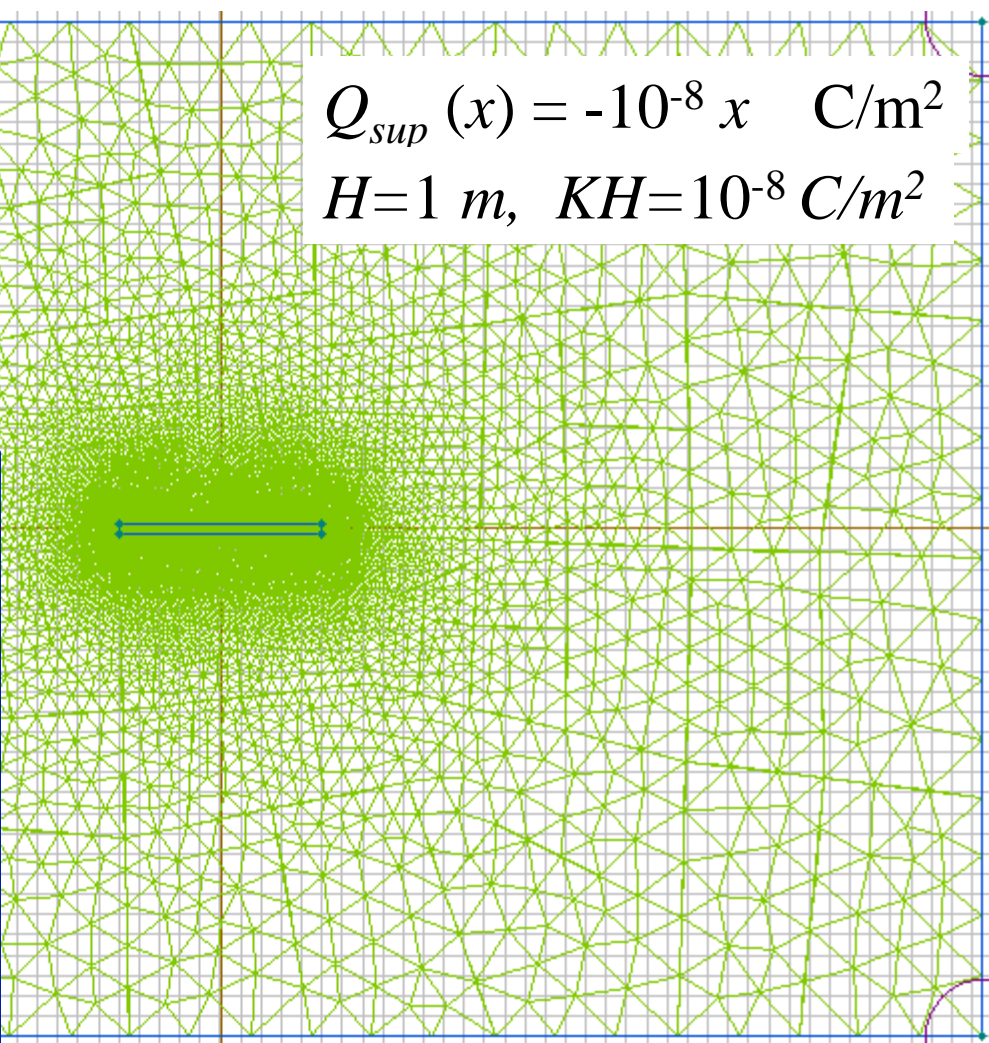
Even Periodic: $U_1 = U_2$

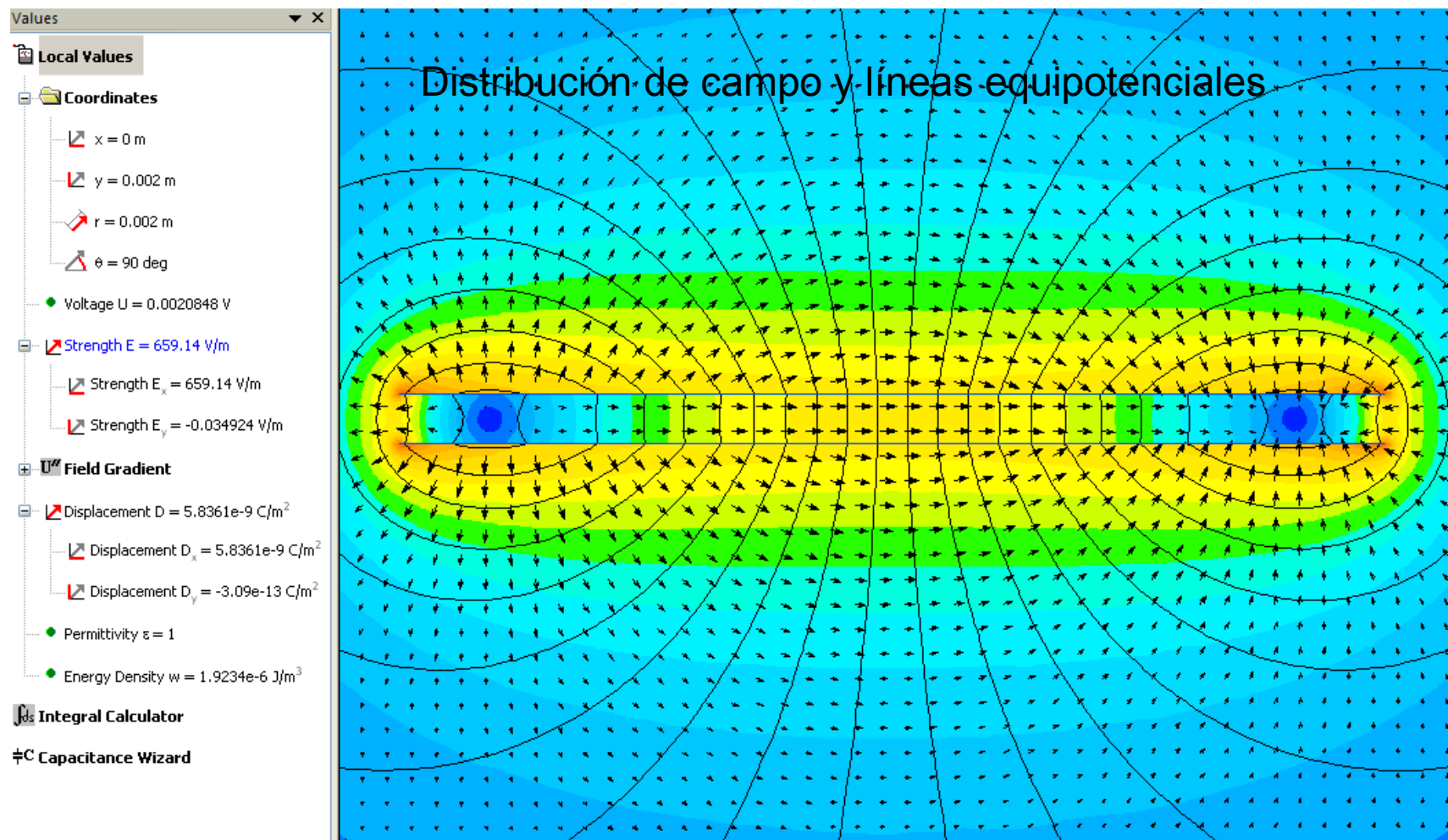
Odd Periodic: $U_1 = -U_2$

Aceptar Cancelar Ayuda

$$Q_{sup}(x) = -10^{-8} x \text{ C/m}^2$$

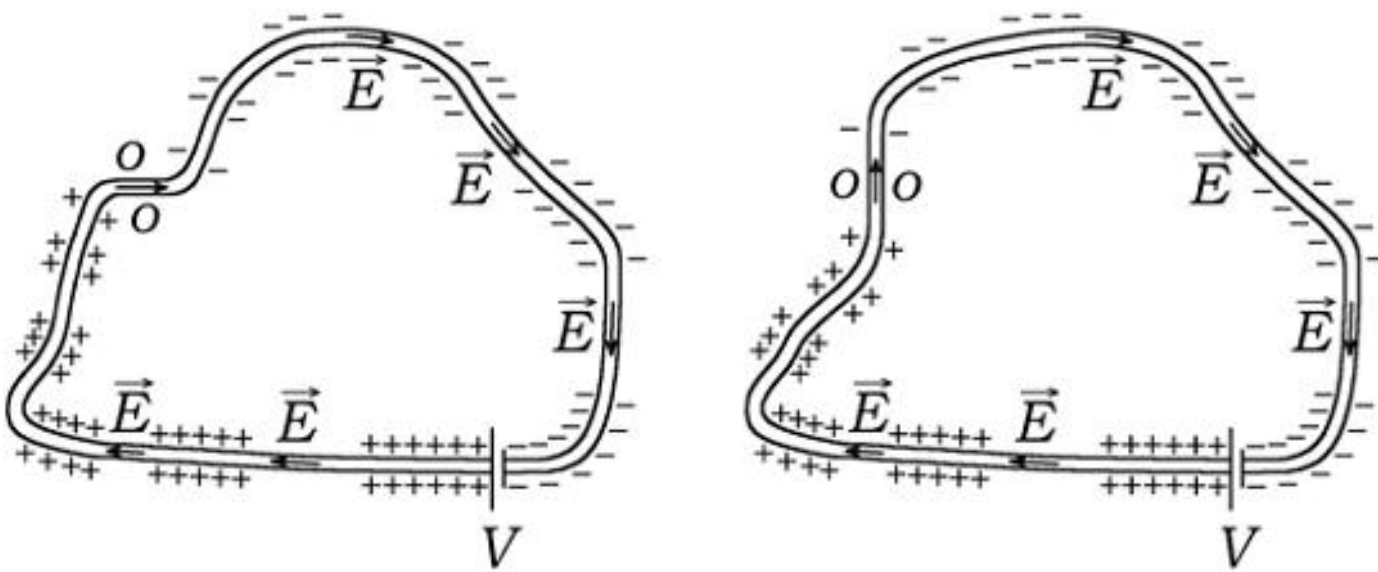
$$H=1 \text{ m}, KH=10^{-8} \text{ C/m}^2$$





$$E_x (\text{teórico}) = 2(KH)/\pi\epsilon_0 = 719 \text{ V/m} \quad E_x (\text{QF}) = 659 \text{ V/m}$$

Caso 3: Conductor curvado

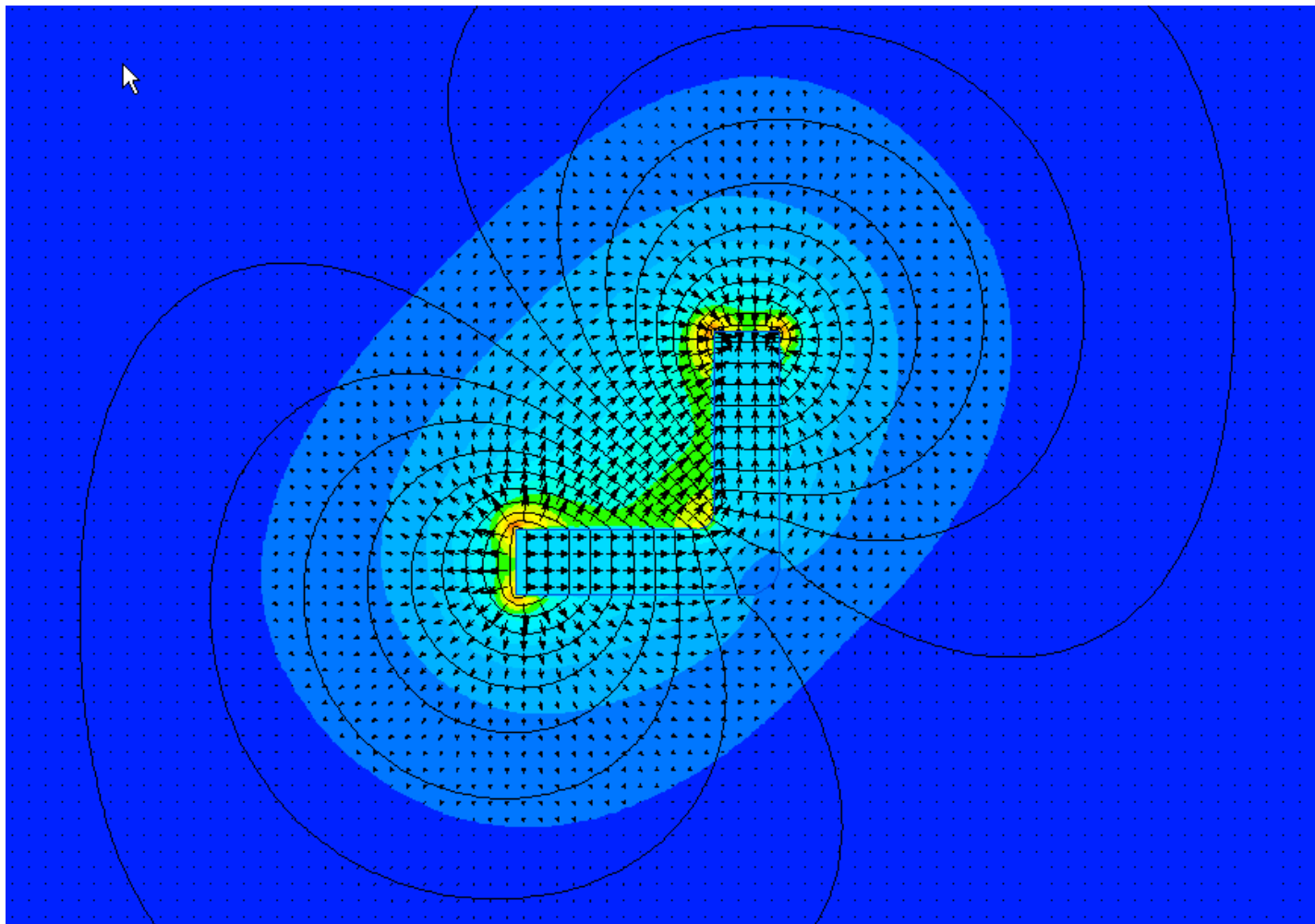


(Assis-Hernandes)



Módulo: Transient Electric

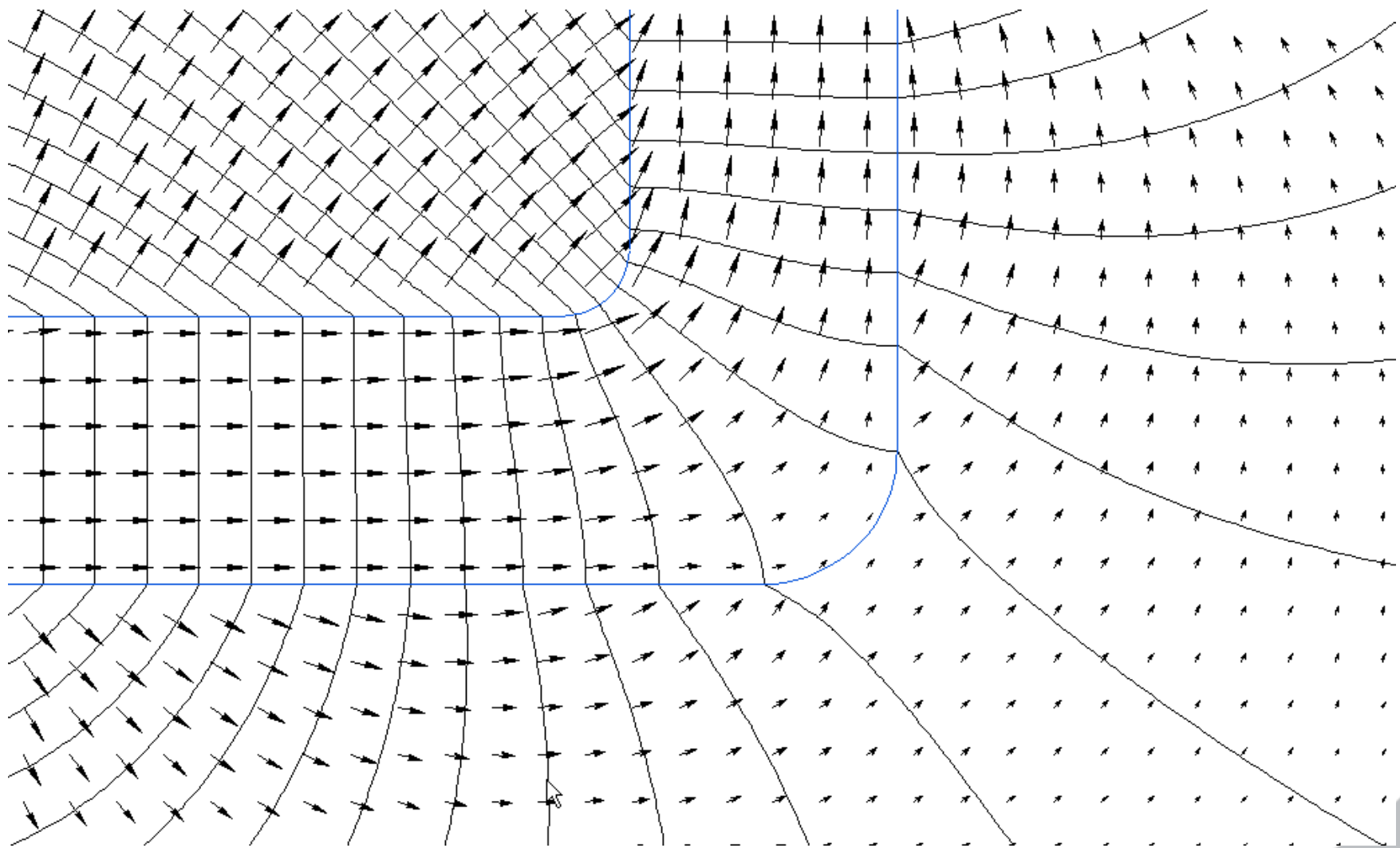
$$\sigma = 10^{-11} \text{ S/m}, \quad \tau = \epsilon_0 / \sigma \approx 1 \text{ s}$$



Distribución de campo y líneas equipotenciales

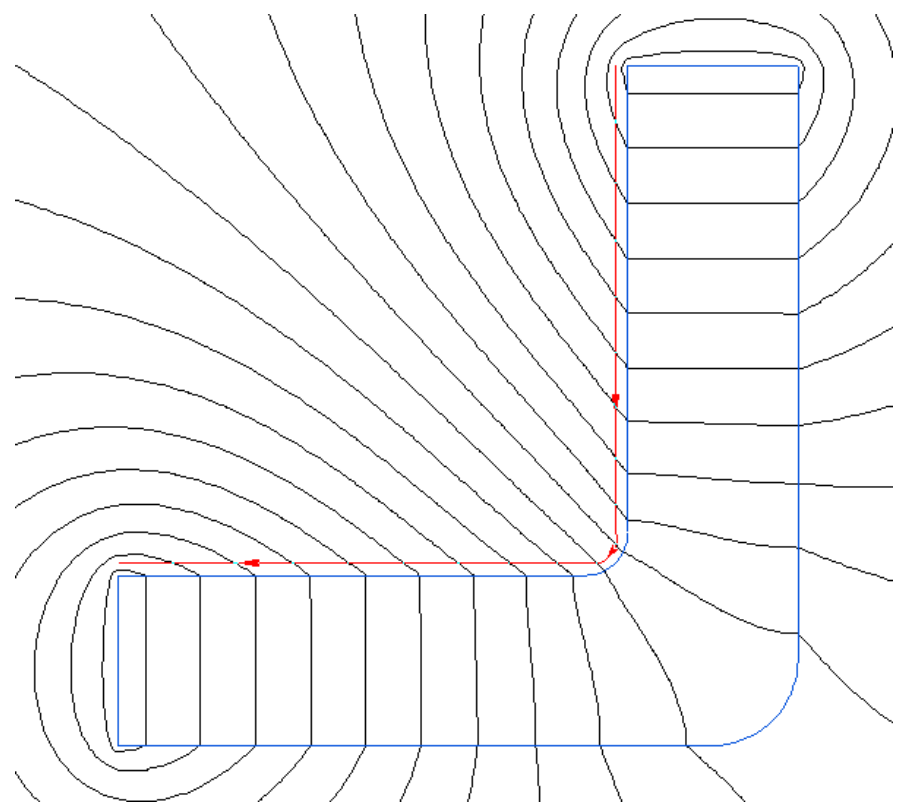
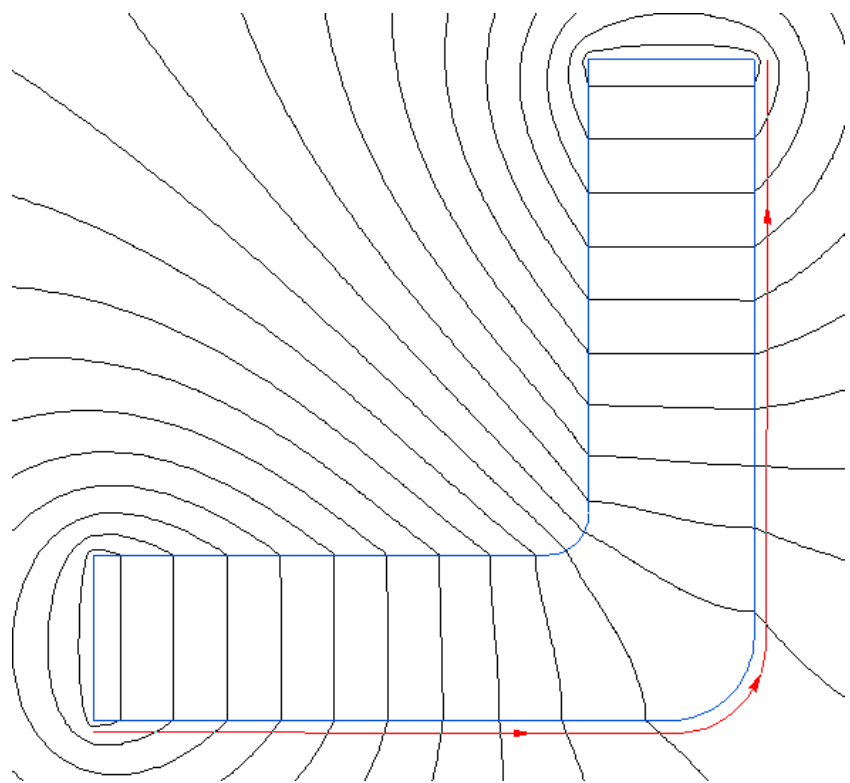


Cobre: $Q = \varepsilon_0 EA = \varepsilon_0 JA/\sigma = \varepsilon_0 I/\sigma = 1.5 \times 10^{-19} I$ (C) (Rosser)



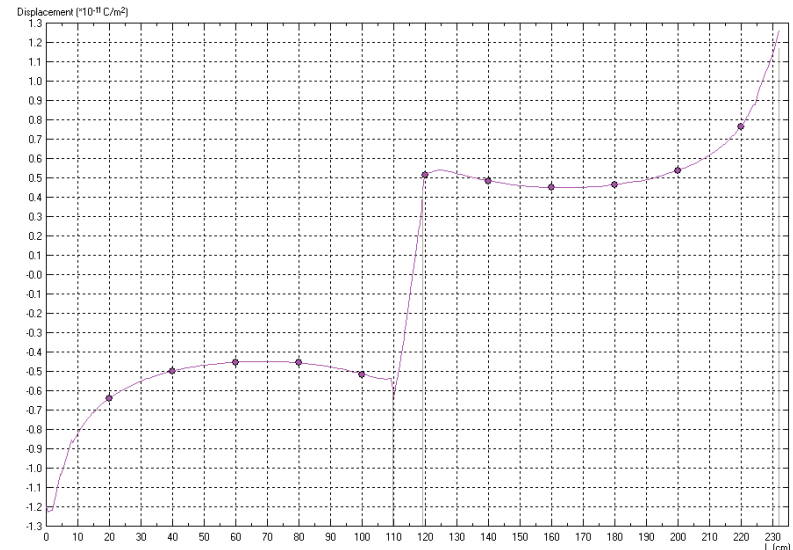
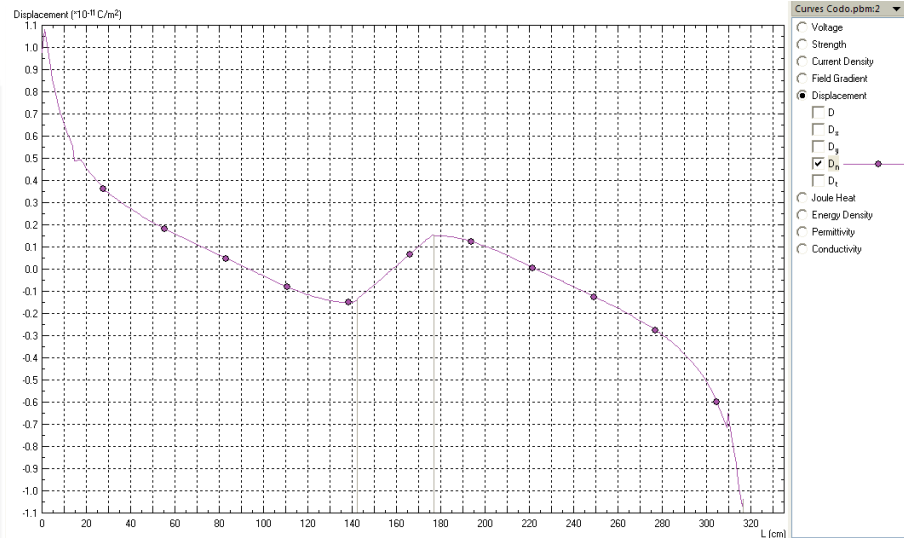


Contornos para la obtención de Q_{sup}



Q_{sup} (ext) →

← Q_{sup} (int)



$$\sigma = 10^{-11} \text{ S/m} \quad \Delta V = 1 \text{ V} \quad S = 0.4 \times 1 \text{ m}^2 = 0.4 \text{ m}^2$$

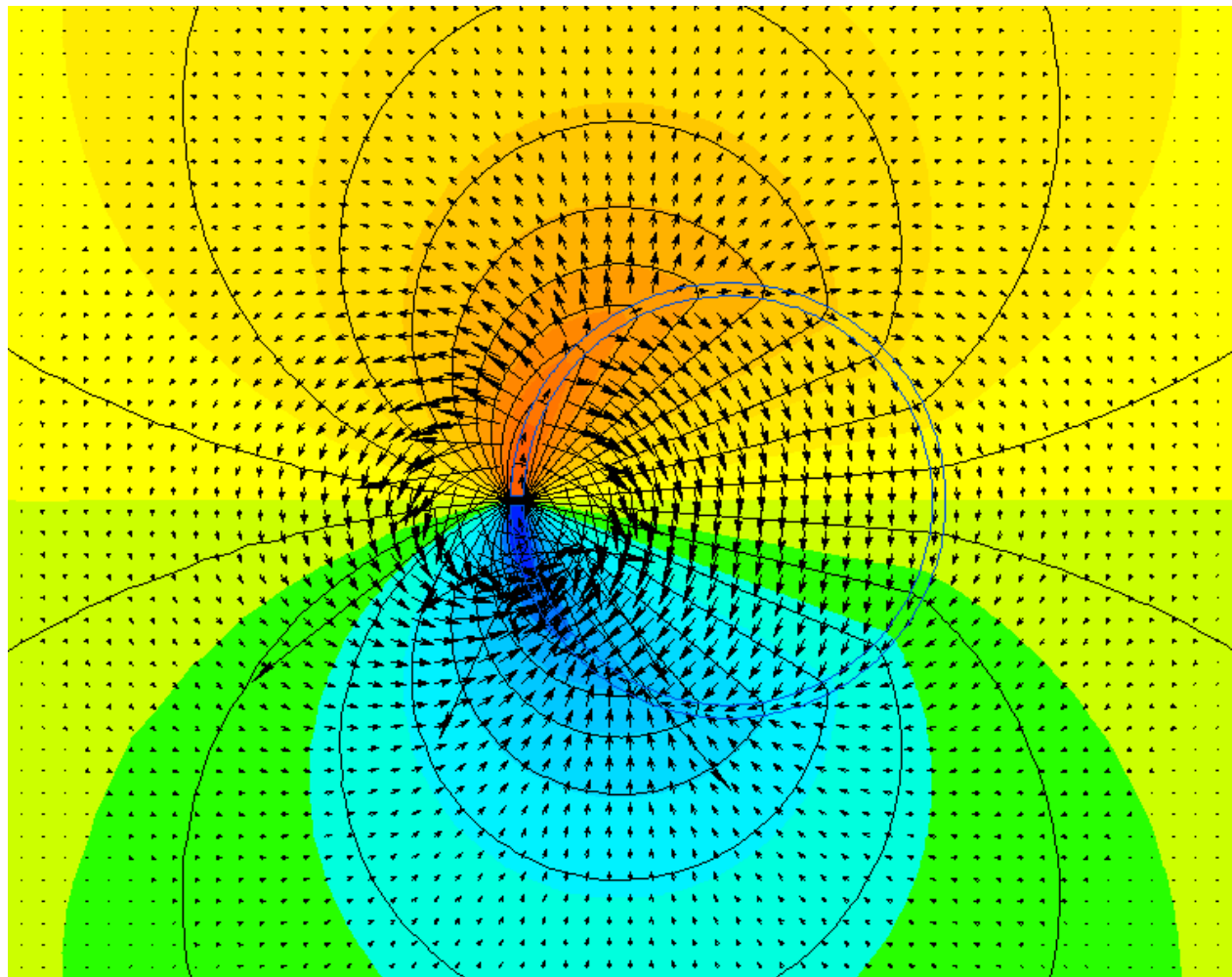
$$Q = \epsilon_0 E S = \epsilon_0 J S / \sigma = \epsilon_0 I / \sigma = 0.885 \text{ I C.}$$

$$J_x (\text{QF}) = 3.9 \times 10^{-12} \text{ A/m}^2 \quad I = J_x S = 1.56 \times 10^{-12} \text{ A.}$$

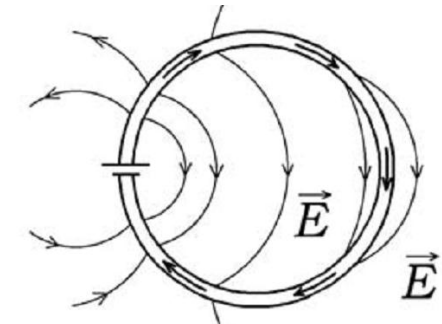
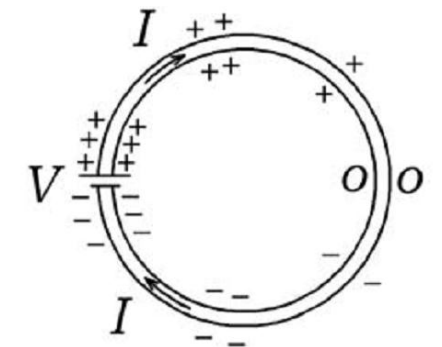


Caso 4: Conductor circular

Módulo: Transient Electric

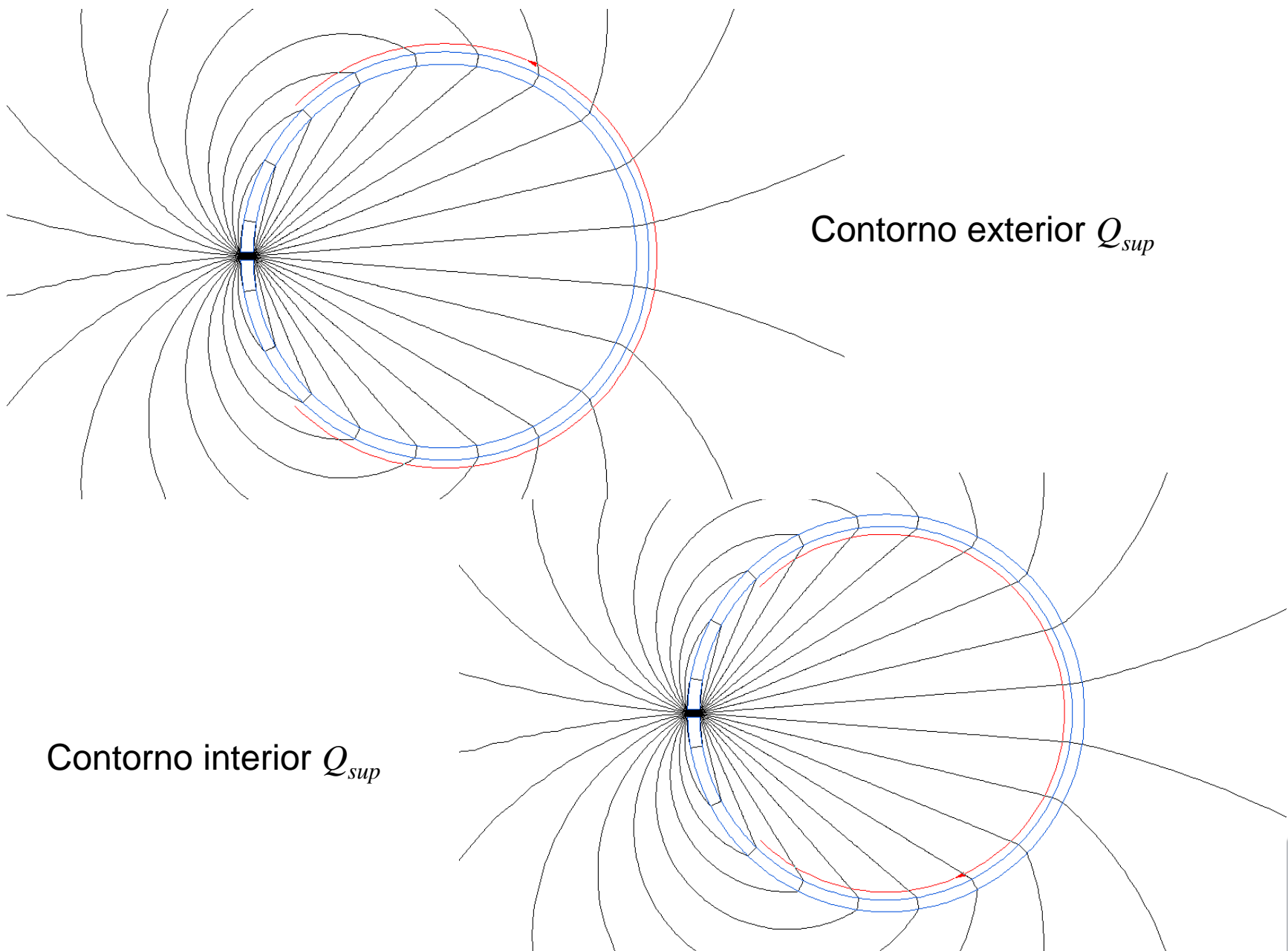


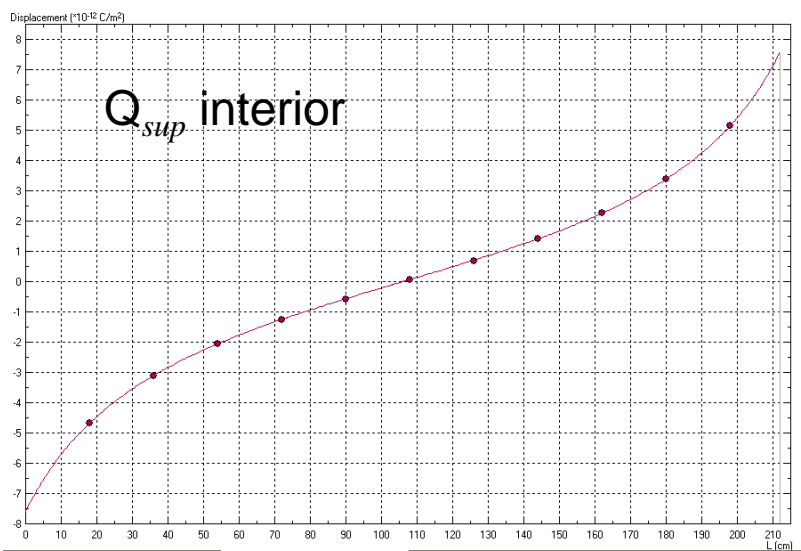
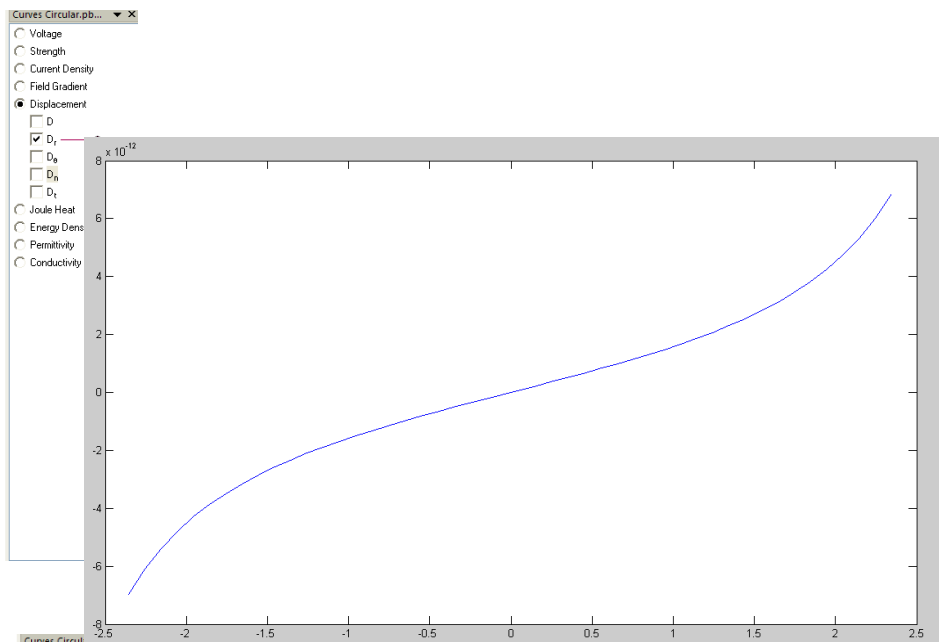
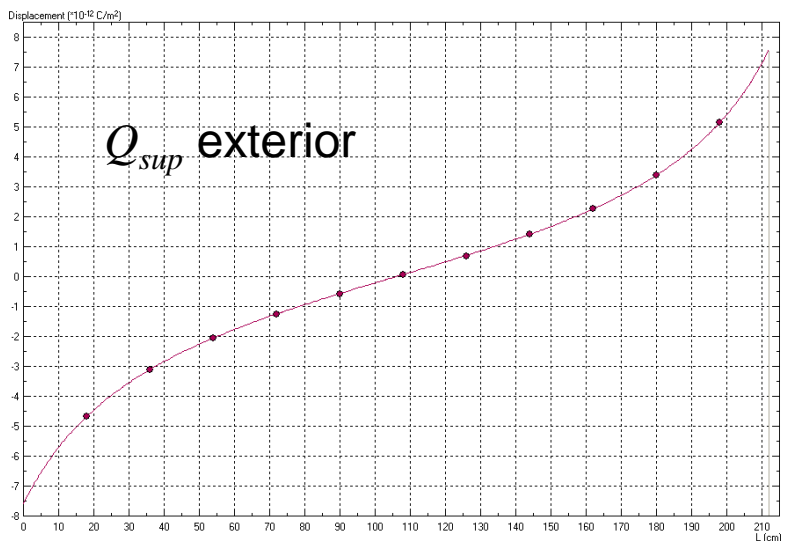
Mapa de potencial y vectores de campo



(Assis-Hernandes)

(M. A. Heald)



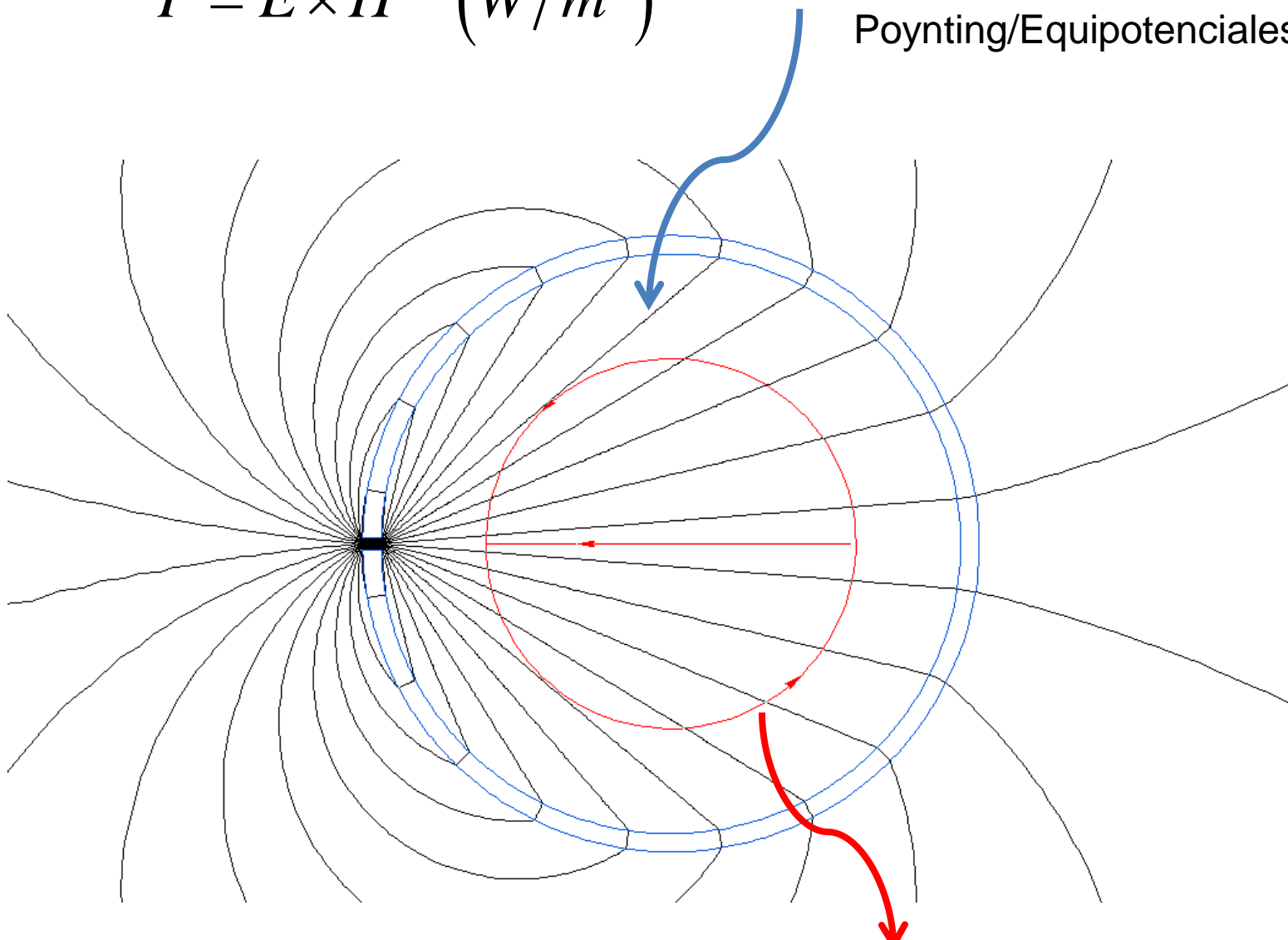


$$Q_{\text{sup}} = \frac{\epsilon_0 V_0}{2\pi a} \tan\left(\frac{\theta}{2}\right)$$

(M. A. Heald)

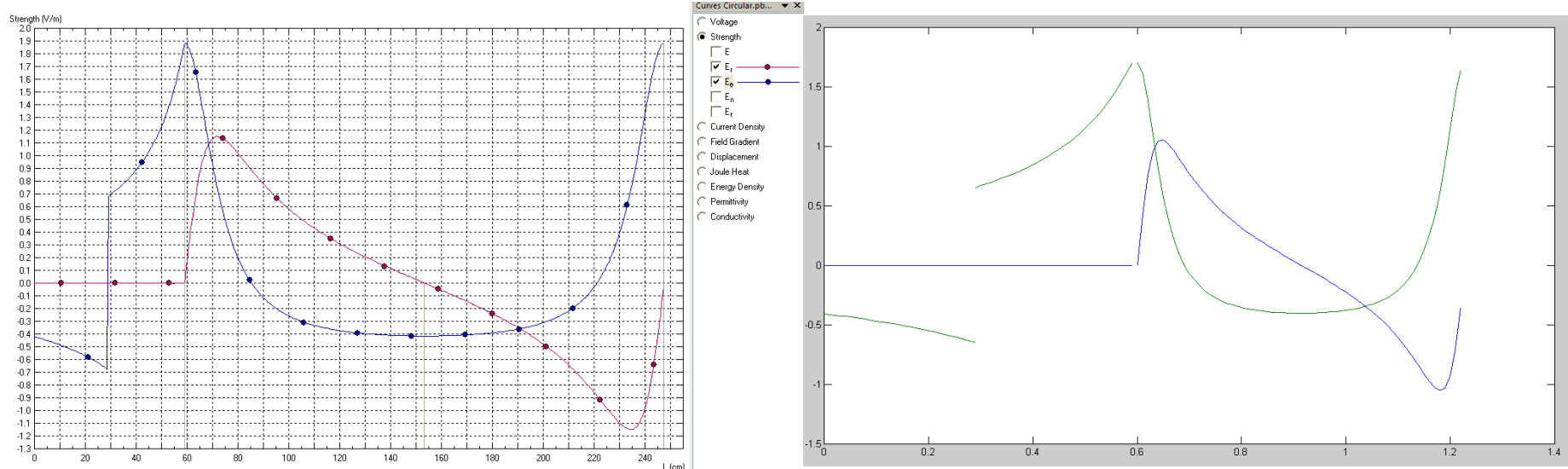

$$\vec{P} = \vec{E} \times \vec{H} \quad (W/m^2)$$

Poynting/Equipotenciales



Contorno para medir campo

Campo sobre contorno interior



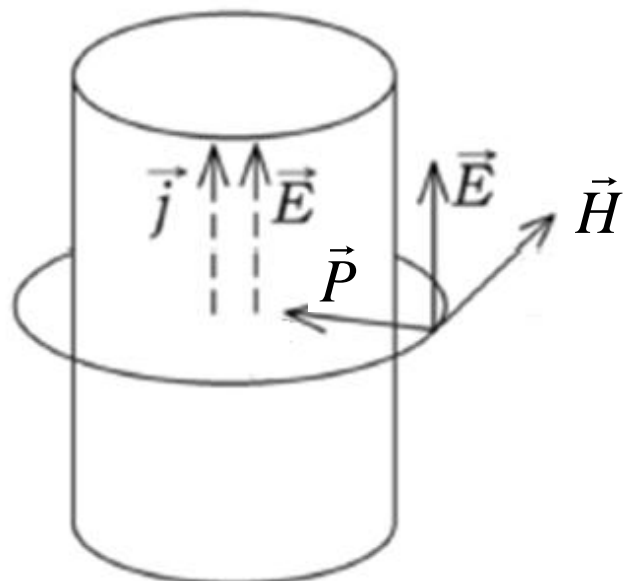
$$\vec{E}(\rho < a, \varphi, z) = -\frac{\phi_B}{\pi} \frac{a(\sin \varphi)\hat{\rho} + (\rho + a \cos \varphi)\hat{\varphi}}{a^2 + \rho^2 + 2a\rho \cos \varphi}$$

(Assis-Hernandes)



Representación típica del vector de Poynting fuera de un conductor que transporta una corriente eléctrica

$$\vec{P} = \vec{E} \times \vec{H} \quad (W/m^2)$$





Bibliografía

Assis, A. K. T., and Hernandes , J. A. “The electric force of a current: Weber and the surface charges of resistive conductors carrying steady currents,” *Apeiron Montreal*, 2007.

Chabay, R. W., and Sherwood, B. A. “Electric and Magnetic Interactions”, *Wiley, New York*, 1995. An accompanying Instructor’s Manual by the authors is available. For additional information see <http://cil.andrew.cmu.edu/emi.html>, which includes an extensive extract of the Instructor’s Manual.

Jackson, J. D. “Surface charges on circuit wires and resistors play three roles,” *Am. J. Phys.* **64**, 855-870 (1996).

Jefimenko, O. “Demonstration of the electric fields of current-carrying conductors.” *Am. J. Phys.*, **30**:19-21, 1962

Jefimenko, O. “Electricity and Magnetism”, *Appleton-Century-Crofts*, New York, 1966: 295-312, 508-511

M. A. Heald, “Electric fields and charges in elementary circuits,” *Am. J.Phys.* **52**: 522–526 (1984).

Rosser, W.G.V. “Magnitudes of surface charge distribution associated with electric current flow.” *Am. J. Phys.* **38**: 265-266, 1970

Russell, B.R. “Surface charge on conductors carrying steady currents,” *Am. J.Phys.* **36**: 527-529, 1968.